

# روش‌های تخمین تعداد صفرهای انتگرال آبلی

حمیدرضا ظهوری زنگنه، علی عطاییگی علمی

چکیده

ارتباط بسیار نزدیکی بین مسأله شانزدهم ضعیف شده هیلبرت و مسأله یافتن کران بالا برای تعداد صفرهای انتگرال آبلی وجود دارد. این مقاله به بررسی روش‌های مختلف برای تخمین تعداد صفرهای انتگرال آبلی می‌پردازد.

لغات کلیدی: مسأله شانزدهم ضعیف شده هیلبرت، سیکل‌های حدی، انتگرال آبلی.

## مقدمه

یکی از مهم‌ترین مسائل باز در نظریه کیفی معادلات دیفرانسیل تعیین تعداد ماقریم سیکل‌های حدی (مدارهای تناوبی ایزوله) یک دستگاه چندجمله‌ای مرتبه  $d$  در صفحه است که اولین بار توسط هیلبرت در ابتدای قرن گذشته در دومین کنگره بین‌المللی ریاضی دانان در پاریس مطرح شد. این مسأله با گذشت یک سده و اندی علیرغم تحقیقات جدی و چاپ صدها مقاله پیرامون آن هنوز حتی برای  $d = 2$  باز است. شاید بهترین نتیجه به دست آمده در این راستا نتیجه‌ای است که به طور مستقل توسط ایلیاشنکو و اکال در ۱۹۹۱ میلادی ثابت شد. آنها نشان دادند که یک دستگاه چندجمله‌ای مفروض دارای تعداد متناهی سیکل حدی است. این نتیجه به قضیه متناهی بودن انفرادی مشهور است [۴].

حال یک اختلال چندجمله‌ای از یک دستگاه هامیلتونی چندجمله‌ای از درجه  $d$  به صورت زیر را در نظر بگیرید:

$$\dot{x} = H_y(x, y) + \varepsilon f(x, y), \quad \dot{y} = -H_x(x, y) + \varepsilon g(x, y), \quad (1)$$

که در آن  $f$ ،  $g$  و  $H$  به ترتیب چندجمله‌ای‌هایی نسبت به دو متغیر  $x$  و  $y$  با حداکثر درجه  $m, n, n$  هستند.

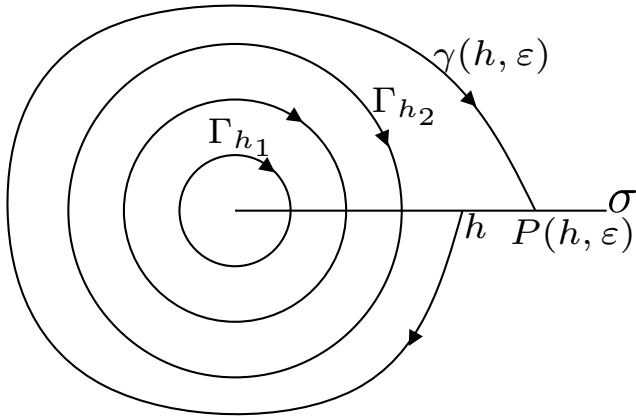
هستند،  $\{x = P(x, y), \dot{y} = Q(x, y)\}$  و  $d = \max\{m, n\}$  را دستگاه  $\dot{x} = P(x, y)$ ،  $\dot{y} = Q(x, y)$  از زرده  $V(x, y) \in \mathcal{C}^1$  موجود باشد که روی هیچ زیرمجموعه بازی از  $\mathbb{R}^2$  ثابت نباشد و مدارهای این دستگاه روی منحنی‌های تراز  $V$  قرار داشته باشند. در حالت خاص این دستگاه را هامیلتونی گویند هرگاه تابع  $H(x, y) \in \mathcal{C}^1$  موجود باشد که  $\frac{\partial H}{\partial x} = P(x, y)$  و  $\frac{\partial H}{\partial y} = -Q(x, y)$ . تابع  $H$  را تابعی هامیلتونی گویند. واضح است که هر دستگاه هامیلتونی انتگرال  $H$  پذیراست. در این صورت دستگاه (۱) به ازای  $\varepsilon = \{x, y : H(x, y) = h\}$  یک دستگاه هامیلتونی با تابع هامیلتونی  $H$  است و مدارهای آن روی منحنی‌های تراز  $\gamma_h = \{(x, y) : H(x, y) = h\}$  قرار دارند. فرض کنید  $\{h_1, h_2\} = \{h \in (h_1, h_2) : h \in \Gamma_h\}$  یک طوق تناوبی (خانواده مدارهای تناوبی غیر ایزوله) باشد و  $\sigma$  یک برش متقاطع با خانواده منحنی‌های تراز  $\gamma_h$  باشد که توسط  $h$  پارامتری شده‌اند. هرگاه  $(h, \varepsilon)$  مدار دستگاه مختل شده (۱) با نقطهٔ شروع  $h$  در  $\sigma$  باشد، برای  $\varepsilon$  به اندازه کافی کوچک این مدار مجدداً برش  $\sigma$  را در نقطه‌ای یکتاً قطع خواهد کرد که آن را با  $P(h, \varepsilon)$  نشان می‌دهیم (شکل ۱ را مشاهده کنید). در این صورت  $d(h, \varepsilon) = P(h, \varepsilon) - h$  تابع تغییر مکان یا تابع جابه‌جایی نامیده می‌شود. طبیعی است که تابع تغییر مکان می‌تواند به صورت زیر نوشته شود:

$$d(h, \varepsilon) = P(h, \varepsilon) - h = \varepsilon I_1(h) + \varepsilon^2 I_2(h) + \cdots + \varepsilon^j I_j(h) + O(\varepsilon^{j+1}). \quad (2)$$

در این صورت  $I_1(h) :=$  اولین تقریب از تابع تغییر مکان دستگاه مختل شده (۱) را ارائه می‌دهد. از قضیهٔ پوانکاره – پونترياگین نتیجه می‌شود که برای مقادیر کوچک و مثبت  $\varepsilon$  شرط کافی برای انشعاب یک سیکل حدی از طوق تناوبی  $\Gamma_h$  آن است که  $I(h)$  در اولین تقریب نسبت به  $\varepsilon$  برابر صفر باشد یعنی به ازای هر منحنی بسته  $\gamma_h$  در طوق تناوبی  $\Gamma_h$  داشته باشیم:

$$I(h) := \oint_{\gamma_h} f(x, y) dy - g(x, y) dx = 0, \quad (3)$$

عبارت  $I(h)$  در (۳) یک انتگرال آبلی نامیده می‌شود که تعداد صفرهای آن یک کران بالا برای تعداد سیکل‌های حدی منشعب شده از طوق تناوبی دستگاه (۱) است. اگر سطح تراز  $h = H$  شامل چندین طوق تناوبی باشد برای توابع چندجمله‌ای مفروض  $f, g, H$  و برای هر عدد  $h$  حقیقی، تابع  $I$  در حالت کلی یک تابع چند مقادیری است. هرگاه  $\circ = I(h) \equiv I(h) \cap \text{اختلال}(1)$  در تقریب مرحله اول نسبت به  $\varepsilon$  یک دستگاه پایستار (هامیلتونی و یا انتگرال پذیر) است و باید تقریب‌های مرتبه بالاتر را در نظر گرفت. فرانسوا الگوریتمی برای محاسبه  $I_j(h)$  با فرض صفر بودن  $I_k(h)$ ،  $k < j$  ارائه داد که در این مقاله به آن نمی‌پردازیم [۴]. تعیین یک کران بالای دقیق از تعداد صفرهای ایزوله  $I(h)$  مسئلهٔ مماسی و یا مسئلهٔ ضعیف شده شانزدهم هیلبرت نامیده می‌شود. با توجه به پیشرفت کنید در روند حل مسئلهٔ شانزدهم هیلبرت این مسئله در ابتدا توسط آرنولد در ۱۹۷۷ میلادی مطرح [۱] و سپس توسط اسمنیل در لیست مسائل حل نشده قرن بیست و یکم قرار گرفت. برای پاسخ دادن به این سؤال روش‌های متفاوتی ارائه شده است که در این مقاله به معرفی برخی از آن‌ها می‌پردازیم.

شکل ۱ :  $d(h, \varepsilon) = P(h, \varepsilon) - h$ 

## ۲. روش مبتنی بر معادلهٔ پیکارد – فوکس

در حالت کلی انتگرال آبلی  $I(h)$  را می‌توان به صورت مجموع متناهی انتگرال‌هایی به صورت  $I_{j,k} := \oint_{\Gamma_h} x^j y^k$  نوشت. خانوادهٔ بزرگی از معادلات دیفرانسیل که در کاربردها اهمیت خاصی دارد، از معادلات لینیارد تشکیل شده است که در اینجا به بررسی حداکثر تعداد سیکل‌های حدی آن می‌پردازیم. این معادلات را می‌توان به صورت زیر بیان کرد:

$$\begin{aligned} \dot{x} &= y, \\ \dot{y} &= -f(x) + \varepsilon y g(x) \end{aligned} \quad (4)$$

که در آن  $f$  و  $g$  توابعی چندجمله‌ای هستند. این دستگاه به ازای  $\varepsilon = 0$  هامیلتونی با تابع هامیلتونی  $H(x, y) = \frac{1}{2}y^2 + F(x) = f(x)$  است که در آن  $F'(x) = f(x)$ . فرض کنید  $\{H(x, y) = h, h_1 < h < h_2\}$  خانواده‌ای از منحنی‌های بسته جبری  $\Gamma_h$  را نشان دهد که مبدأ را احاطه کرده است. هرگاه  $I_k := \oint_{\gamma_h} x^k y dx$  و قرار دهیم  $g(x) = \sum_{k=0}^n a_k x^k$ ، آنگاه  $I_k = I_k := \oint_{\gamma_h} x^k y dx$ . توجه می‌کنیم که طبق قضیهٔ گرین  $I_0 = \oint_{\gamma_h} y dx = \varepsilon[a_0 I_0 + a_1 I_1 + \dots + a_n I_n]$  مساحت محصور به  $\gamma_h$  را نشان می‌دهد، لذا به ازای هر  $h \in (h_1, h_2)$  کمیتی مثبت است. در این صورت  $[I(h)](h) = \varepsilon I_0(h)[a_0 + a_1(I_1/I_0)(h) + \dots + a_n(I_n/I_0)(h)]$  و تخمین صفرهای  $I(h)$  به تخمین تعداد صفرهای عبارت داخل کروشه منتهی می‌شود. با توجه به این مقدمه به معرفی روش پیکارد – فوکس می‌پردازیم. در این روش ابتدا دستگاه معادلات دیفرانسیلی که  $I_j$  ها در آن صدق

می‌کنند را می‌باییم. این دستگاه معادلات دیفرانسیل به دستگاه معادلات پیکارد – فوکس مشهور است. با بررسی رفتار کیفی جواب‌های این معادلات، خواص هندسی و رفتارهای مجانبی آنها وقتی  $h$  به مقادیر بحرانی  $h_1$  و  $h_2$  میل می‌کند را تعیین می‌کنیم. برای بررسی رفتار هندسی نسبت انتگرال‌های آبلی  $\int_{\bar{x}}^{\bar{y}}(h) = P_k(h)$ ، معادلات دیفرانسیلی که هریک از آنها در آن صدق می‌کنند را می‌باییم. این معادلات از نوع معادلات ریکاتی هستند. حال تعریف برخی مفاهیم مقدماتی را یادآوری می‌کنیم.

دستگاه معادلات دیفرانسیل خودگردان در صفحه

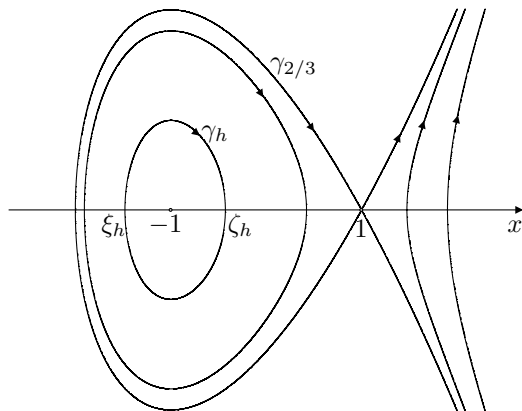
$$\dot{x} = P(x, y), \quad \dot{y} = Q(x, y), \quad (5)$$

را در نظر بگیرید. نقطهٔ تعادل (یا نقطهٔ بحرانی) دستگاه (5) است هرگاه  $\dot{x} = \dot{y} = 0$ . در واقع نقطهٔ تعادل جواب خاصی از یک دستگاه (5) است که برای هر  $t \in \mathbb{R}$ ،  $\phi_t(p) = p$ ، که در آن  $(\cdot, \phi_t)$  جریان تولید شده توسط این دستگاه است. نقطهٔ تعادل  $p$  پایدار است هرگاه به ازای هر  $\varepsilon > 0$  یک  $\delta > 0$  موجود باشد که اگر  $\|q - p\| < \delta$  آن‌گاه  $\|\phi_t(q) - p\| < \varepsilon$  به ازای هر  $t \geq 0$ .  $p$  ناپایدار است هرگاه پایدار نباشد.  $p$  مجانبی پایدار است هرگاه پایدار باشد و  $\lim_{t \rightarrow \infty} \phi_t(q) = p$  آن‌گاه  $p$  در نقطهٔ  $p$  باشد در این فرض کنید  $\lambda$  و  $\mu$  مقادیر ویژهٔ ماتریس ژاکوبی میدان برداری دستگاه (5) در نقطهٔ  $p$  باشد در این صورت

- (i) اگر  $\lambda, \mu \in \mathbb{R}$  و  $\lambda \neq \mu$ ، یک نقطهٔ تعادل زینی نامیده می‌شود
- (ii) اگر  $\lambda, \mu \in \mathbb{R}$  و  $\lambda = \mu$ ، نقطهٔ تعادل  $p$  گره نامیده می‌شود که پایدار است هرگاه  $\lambda < 0, \mu < 0$  و ناپایدار است هرگاه  $\lambda > 0, \mu > 0$ .
- (iii) نقطهٔ تعادل  $p$  یک مرکز است اگر یک همسایگی  $U$  داشته باشد که برای هر  $q \in U \setminus \{p\}$ ،  $\dot{x}(q) + \dot{y}(q) + P'(q)q + Q'(q)p \neq 0$  و جواب‌های گذرنده از  $q$  بسته و احاطه کننده  $p$  باشند.
- (iv) نقطهٔ تعادل  $p$  هذلولوی است اگر قسمت حقیقی مقادیر ویژهٔ ماتریس ژاکوبی ناصرف باشند. حال همیلتونی  $H(x, y) = \frac{y^3}{3} - \frac{x^3}{3} + x$  با خانواده منحنی‌های بسته

$$\{\Gamma_h\} = \{(x, y); \quad H(x, y) = h, \quad -\frac{2}{3} \leq h \leq \frac{2}{3}\},$$

را مطابق شکل (۲) در نظر بگیرید.



شکل ۲: خانواده بیضی‌های همیلتونی (۵)

دستگاه همیلتونی متناظر، با  $X_H$  نشان داده می‌شود. وقتی  $h \rightarrow -\infty$  بیضی  $\Gamma_h$  منقبض شده به مرکز  $X_H$  در  $(-\infty, 0)$  میل می‌کند و اگر  $h \rightarrow \infty$  این بیضی به یک مدار هموکلینیک میل می‌کند. یادآوری می‌کنیم که: نقطه  $x$  را متعلق به مجموعه  $\alpha$ -حدی (به طور متناظر مجموعه  $\omega$ -حدی) مدار نقطه  $x$  گویند هرگاه دنباله  $t_j$  موجود باشد که اگر  $\lim_{j \rightarrow \infty} t_j = -\infty$  ( $\lim_{j \rightarrow \infty} t_j = \infty$ ) آنگاه  $x = \phi_{t_j}(x_0)$ . یک مدار هموکلینیک گفته می‌شود هرگاه نقاط  $\alpha$ -حدی و  $\omega$ -حدی آن نقاط تعادل زینی باشند. یک اختلال  $X_H$  به شکل زیر را در نظر بگیرید:

$$\begin{aligned} \dot{x} &= y, \\ \dot{y} &= -1 + x^2 + \varepsilon(\alpha + x)y, \end{aligned} \quad (6)$$

که در آن  $\alpha$  یک ثابت و  $\varepsilon$  یک پارامتر کوچک است. انتگرال آبلی متناظر با دستگاه (6) برابر است با

$$I(h) = \alpha I_0(h) + I_1(h), \quad I_j(h) = \oint_{\gamma_h} x^j y dx, \quad j = 0, 1 \quad (7)$$

چون جهت  $\Gamma_h$  ساعتگرد است. با استفاده از قضیه گرین به سادگی دیده می‌شود که  $I_0(h)$  مساحت ناحیه محصور به  $\Gamma_h$  است، بنابراین  $0 < I_0(h) < h$ . فرض کنید  $(\xi_h, 0)$  داریم، و  $0 < \xi_h < 1 < \eta_h < 1$  ( $\eta_h, 0$ ). نقاط تقاطع  $\Gamma_h$  با محور  $x$  ها باشند، با استفاده از (7) داریم،

$$I_j(h) = 2 \int_{\xi_h}^{\eta_h} x^j y dx,$$

$$H(x, y) = h \Rightarrow \frac{y^2}{2} - \frac{x^2}{2} + x = h \Rightarrow y \frac{\partial y}{\partial h} = 1 \Rightarrow \frac{\partial y}{\partial h} = \frac{1}{y}.$$

در نتیجه

$$I'_j(h) = \oint_{\gamma_h} x^j \frac{\partial y}{\partial h} dx = \oint_{\gamma_h} \frac{x^j}{y} dx = 2 \int_{\xi_h}^{\eta_h} \frac{x^j}{y} dx, \quad (8)$$

که در آن  $\circ$  با استفاده از  $y(x, h) \geq 0$  تعیین می‌شود. از طرفی

$$I_j(-\frac{r}{r}) = \lim_{h \rightarrow -\frac{r}{r}} \int \int_{H \leq h} x^j dx dy = \circ \quad j = \circ, 1.$$

در نتیجه با استفاده از (۷)، قاعده هوپیتال و همچنین قضیه مقدار میانگین برای انتگرال‌ها، داریم

$$\lim_{h \rightarrow -\frac{r}{r}} \frac{I_1(h)}{I_r(h)} = \lim_{h \rightarrow -\frac{r}{r}} \frac{I'_1(h)}{I'_r(h)} = \lim_{h \rightarrow -\frac{r}{r}} \frac{\zeta_h \int_{\xi_h}^{\eta_h} \frac{dx}{y}}{\int_{\xi_h}^{\eta_h} \frac{dx}{y}} = -1,$$

که در آن  $\circ$  و  $\xi_h = \lim_{h \rightarrow -\frac{r}{r}} \eta_h = -1$   $\xi_h < \zeta_h < \eta_h$  تعریف می‌کیم:

$$P(h) = \begin{cases} \frac{I_1(h)}{I_r(h)}, & h \in (-\frac{r}{r}, \frac{r}{r}], \\ -1, & h = -\frac{r}{r}. \end{cases} \quad (9)$$

در نتیجه رابطه (۷) به صورت زیر نوشته می‌شود

$$I(h) = I_r(h)(\alpha + P(h)). \quad (10)$$

در ادامه ثابت می‌کیم که به ازای  $P'(h) > \circ$ ،  $h \in (-\frac{r}{r}, \frac{r}{r})$  و بنابراین (۱۰) نتیجه می‌دهد که  $I(h)$  حداقل دارای یک صفر است.

لم ۱.  $I_r(h)$  و  $I_1(h)$  در معادله پیکارد - فوكس زیر صدق می‌کنند:

$$(9h^r - 4) \frac{d}{dh} \begin{pmatrix} I_r \\ I_1 \end{pmatrix} = \begin{pmatrix} \frac{15h}{2} & \frac{r}{2} \\ 5 & \frac{r}{2} \end{pmatrix} \begin{pmatrix} I_r \\ I_1 \end{pmatrix} \quad (11)$$

اثبات. از رابطه (۸) و این واقعیت که در طول  $\Gamma_h$   $y^r = 2h + \frac{r}{r}x^r - 2x$ ، نتیجه می‌شود که

$$I_j(h) = \int_{\gamma_h} \frac{x^j y^r}{y} dx = 2h I'_j(h) - 2 I'_{j+1}(h) + \frac{r}{r} I'_{j+r}(h). \quad (12)$$

از طرفی، از فرمول انتگرال‌گیری جزء به جزء و این واقعیت که در طول  $\Gamma_h$   $ydy = (-1 + x^r)dx$ ، نتیجه می‌شود که

$$\begin{aligned} I_j(h) &= 2 \int_{\xi_h}^{\eta_h} x^j y dx = 2 \left( \frac{1}{j+1} x^{j+1} y(x, h) \Big|_{\xi_h}^{\eta_h} - \int_{\xi_h}^{\eta_h} \frac{x^{j+1}(-1 + x^r)}{(j+1)y} dx \right) \\ &= \frac{1}{j+1} (I'_{j+1}(h) - I'_{j+r}(h)). \end{aligned} \quad (13)$$

از حذف  $I'_{j+2}(h)$  در (۱۲) و (۱۳) به دست می آید:

$$(2j + 5)I_j(h) = \nabla h I'_j(h) - 4I'_{j+1}(h).$$

که از قرار دادن  $\circ = j$ ، نتیجه می شود

$$\begin{aligned} 5I_\circ(h) &= \nabla h I'_\circ(h) - 4I'_1(h), \\ \nabla I_1(h) &= \nabla h I'_1(h) - 4I'_2(h). \end{aligned} \quad (14)$$

توجه می کنیم که در طول  $\Gamma_h$  داریم  $y^r dy = (-1 + x^r) y dx$ . بنابراین

$$\circ = \oint_{\gamma_h} y^r dy = \oint_{\gamma_h} (-1 + x^r) y dx \Rightarrow I_2(h) \equiv I_\circ(h).$$

با قرار دادن  $I_\circ(h)$  به جای  $I'_\circ(h)$  در (۱۴) و با به دست آوردن  $I'_1(h)$  و  $I'_2(h)$  از این معادله، نتیجه می شود

$$\begin{cases} \nabla h I'_\circ(h) - 4I'_1(h) = 5I_\circ(h) \\ -4I'_\circ(h) + \nabla h I'_1(h) = \nabla I_1(h) \end{cases}$$

$$\Rightarrow I'_\circ(h) = \frac{\det \begin{pmatrix} 5I_\circ & -4 \\ \nabla I_1 & \nabla h \end{pmatrix}}{\det \begin{pmatrix} \nabla h & -4 \\ -4 & \nabla h \end{pmatrix}}, \quad I'_1(h) = \frac{\det \begin{pmatrix} \nabla h & 5I_\circ \\ -4 & \nabla I_1 \end{pmatrix}}{\det \begin{pmatrix} \nabla h & -4 \\ -4 & \nabla h \end{pmatrix}}.$$

که معادله (۱۱) را نتیجه می دهد. ■

قضیه ۱. تابع  $P(h)$  تعریف شده در (۹) به ازای  $(-\frac{2}{3}, \frac{2}{3})$  اکیداً صعودی است. برهان. از تعریف (۹) بر می آید که

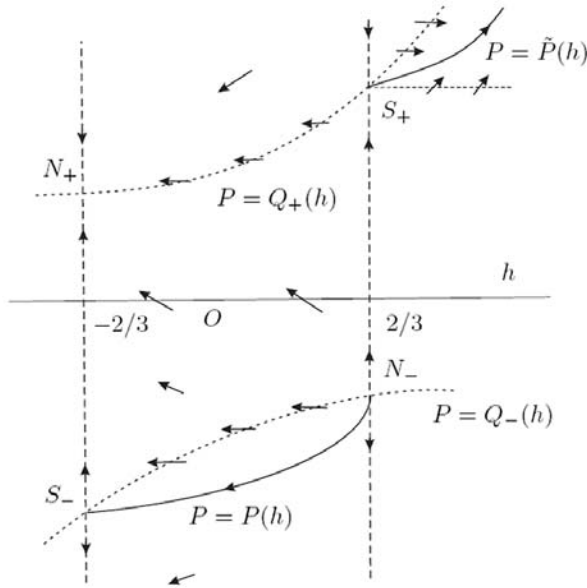
$$P'(h) = \frac{I'_1(h)}{I_\circ(h)} - \frac{I'_\circ(h)}{I_\circ(h)} P(h).$$

با جایگذاری (۱۱) در برابری فوق، نتیجه می شود که

$$P'(h) = \frac{5I_\circ - \frac{1}{3}I_1}{(\frac{1}{3}h^2 - 4)I_\circ} - \frac{\frac{15}{4}hI_\circ + \frac{1}{3}I_1}{(\frac{1}{3}h^2 - 4)I_\circ} \Rightarrow (\frac{1}{3}h^2 - 4)P' = -\nabla P^r + 3hP + 5.$$

این معادله، یک معادله ریکاتی است و معادل با دستگاه زیر است.

$$\begin{cases} \frac{dP}{dt} = -\nabla P^r + 3hP + 5 \\ \frac{dh}{dt} = \frac{1}{3}h^2 - 4. \end{cases} \quad (15)$$

شکل ۳: رفتار میدان برداری (۱۷) و تابع  $P(h)$ 

این دستگاه دارای خطوط پایی  $\{h = \pm\frac{2}{3}\}$  است (یعنی اگر  $(.)^t \phi$  جریان تولید شده توسط  $(15)$  و  $\{h = \pm\frac{2}{3}\}$  باشد، آنگاه  $x \in \{h = \pm\frac{2}{3}\}$  و هر ۴ نقطه بحرانی (تعادل) این دستگاه روی این دو خط قرار دارند؛ یک زین در  $(-\frac{2}{3}, -\frac{2}{3})$  و یک گره در  $(\frac{2}{3}, -\frac{2}{3})$  واقع در نیم صفحه پایین و یک زین در  $(\frac{2}{3}, \frac{2}{3})$  و یک گره در  $(-\frac{2}{3}, \frac{2}{3})$  واقع در نیم صفحه بالا. تعریف  $(9)$  نشان می‌دهد که نمودار تابع  $P = P(h)$  منیفلد پایدار  $S_-$  است، به این معنی که یک همسایگی  $U$  از  $S_-$  موجود است که مجموعه  $\{x \in U; \phi^t(x) \in U, t \geq 0, \lim_{t \rightarrow \infty} \phi^t(x) = S_-\}$  است که از نقطه نمودار  $P$  نمایش داده می‌شود. در واقع  $(15)$  است که از نقطه  $(-\frac{2}{3}, -1)$  می‌گذرد و همچنین با افزایش  $h$  به سمت گره ناپایدار  $N_-$  میل می‌کند. زیرا با توجه به شکل (۳) جهت میدان برداری روی خط  $\{(h, P); P = 0\}$  به سمت بالاست ( $\frac{dP}{dt} > 0$ ). از طرف دیگر، از معادله اول  $(15)$  نتیجه می‌شود که

$$\circ = \frac{dP}{dt} = -4P^4 + 3hP + 5 \implies P = Q_{\pm}(h) = \frac{3h \pm \sqrt{9h^2 + 140}}{14}$$

که در آن  $Q_{\pm}(h)$  دو شاخه هذلولوی هستند که در طول آنها  $\circ = \frac{dP}{dt}$ . این دو شاخه نوار  $\{(h, P); -\frac{2}{3} < h < \frac{2}{3}\}$  را به سه ناحیه تقسیم می‌کنند، که در آنها جهت میدان برداری  $(15)$  در

ناحیه‌های بالا و پایین به سمت پایین و در ناحیه وسط به سمت بالاست. با محاسبه مستقیم شیب خم در نقطه  $S_-$  دیده می‌شود که

$$\frac{dP}{dh} |_{S_-} = \left( \frac{dP}{dt} \cdot \frac{dt}{dh} \right) |_{S_-} = \frac{1}{\lambda}$$

در حالی که شیب  $(h) P = Q_-$  در همین نقطه برابر  $\frac{5}{2\lambda}$  است. بنابراین منحنی  $P = P(h)$  در نزدیکی نقطه  $S_-$  در پایین منحنی  $P = Q_-(h)$  قرار دارد و لذا در کل بازه  $(-\frac{2}{3}, \frac{2}{3})$  نیز در پایین آن باقی می‌ماند، زیرا در زیر  $(h) P = Q_-$  جهت میدان برداری (۱۵) رو به پایین است، (شکل ۳) را بینید). بنابراین به ازای  $h \in (-\frac{2}{3}, \frac{2}{3})$  زیرا در پایین شاخه  $P = Q_-(h)$  و  $\frac{dh}{dt}$  منفی هستند. ■

### ۳. روش معدل‌گیری

در این بخش کاربردی از روش معدل‌گیری در زمینه مطالعه مسأله شانزدهم ضعیف شده هیلمبرت در [۳] به طور خلاصه معرفی می‌شود. در برخی موارد استفاده از این روش معادل مطالعه انتگرال‌های آبلی است، ولی در برخی دیگر از موارد یکی از آنها مؤثرتر و مناسب‌تر از دیگری است. ابتدا چند قضیه کلی بدون اثبات ارائه می‌شود، سپس این روش برای مطالعه اختلال درجه دوم از یک دستگاه ناهمیلتونی برگشت پذیر مرتبه دوم استفاده می‌شود. یک دستگاه را برگشت پذیر گویند هرگاه شکل کلی آن به صورت زیر باشد:

$$\begin{aligned} \dot{x} &= -y - (a + b - 2)x^1 + (a + b - 2)y^2, \\ \dot{y} &= x - 2(a - b)xy \end{aligned}$$

که در آن  $a, b$  و  $c$  اعداد حقیقی ثابت هستند.

نظریه معدل‌گیری در حالت کلی در یک فضای با بعد متناهی دلخواه به کار می‌رود. چون در این قسمت از آن برای مطالعه دستگاه‌های خودگردان در حالت یک بعدی استفاده می‌شود، قضیه (۲) معدل‌گیری مرتبه اول را ارائه می‌دهد، برای اثبات، [۱۲] را بینید. تعاریف مورد نیاز در این بخش عبارتند از:

**تعریف ۱.** مسأله مقدار اولیه زیر را در نظر بگیرید:

$$\dot{x} = \varepsilon f(t, x) + \varepsilon^1 h(t, x, \varepsilon), \quad x(\circ) = x_0. \quad (16)$$

که در آن  $D$  یک زیرمجموعه باز در  $\mathbb{R}$  و  $x, y, x_0 \in D$ ؛  $\varepsilon \in (0, \varepsilon_0]$ ؛  $t \in [0, \infty)$ ؛ همچنین توابع  $f$  و  $h$  متناوب با دوره تناوب  $T$  نسبت به  $t$  هستند. در این صورت معادله

$$\dot{y} = \varepsilon \bar{f}(y), \quad y(\circ) = x_0, \quad (17)$$

را معادلهٔ معدل (۱۶) گویند که در آن

$$\bar{f}(y) = \frac{1}{T} \int_0^T f(t, y) dt. \quad (۱۸)$$

قضیهٔ ۲. در مسألهٔ مقدار اولیه (۱۶) فرض کنید که  $\varepsilon \in (0, \varepsilon_0)$ ، پیوسته و به وسیلهٔ یک ثابت مستقل از  $\varepsilon$  در  $D \times [0, \infty)$  و کراندار باشد،

(i)  $f$  مستقل از  $\varepsilon$  است،

(ii) روى مقیاس زمانی از مرتبه  $\frac{1}{\varepsilon}$ ، متعلق به  $D$  است.

آن گاه گزاره‌های زیر برقرارند.

(iii) روى مقیاس زمانی از مرتبه  $\frac{1}{\varepsilon}$ ، اگر  $\varepsilon \rightarrow 0$  آنگاه

$$x(t) - y(t) = O(\varepsilon).$$

(b) اگر  $p$  یک نقطهٔ تعادل هذلولوی دستگاه معدل (۱۷) باشد، آن گاه (۱۶) یک جواب  $T$ -تناوبی  $\phi(t, \varepsilon)$  نزدیک به  $p$  است که  $\lim_{\varepsilon \rightarrow 0} \phi(t, \varepsilon) = p$  و اگر  $p$  مجانبی پایدار باشد، آن گاه جواب تناوبی متناظر  $\phi(t, \varepsilon)$  در فضای  $(t, x)$  برای  $\varepsilon$  به اندازهٔ کافی کوچک، مجانبی پایدار است و اگر ناپایدار باشد آن گاه  $\phi(t, \varepsilon)$  ناپایدار است. ■

حال یک اختلال از یک دستگاه انتگرال پذیر مسطح به صورت زیر در نظر بگیرید:

$$X_\varepsilon : \begin{cases} \dot{x} = P(x, y) + \varepsilon p(x, y) \\ \dot{y} = Q(x, y) + \varepsilon q(x, y) \end{cases} \quad (۱۹)$$

که در آن  $P, Q, p, q \in C^1(\mathbb{R}^2, \mathbb{R})$ . فرض کنید که  $X$  دارای عامل انتگرال‌ساز  $\mu(x, y) \neq 0$  باشد و خانوادهٔ پیوستهٔ انتگرال اول  $H$  باشد. برای مطالعهٔ تعداد سیکل‌های حدی دستگاه (۱۹) باید این دستگاه را به فرم معادلهٔ (۱۶) نمایش دهیم:

قضیهٔ ۳. ([۴]) فرض کنید که به ازای هر  $(x, y)$  در مجموعهٔ شامل بیضی‌های  $\{\gamma_h\}$   $xQ(x, y) - yP(x, y) \neq 0$  و به طوری که برای هر  $R \in (\sqrt{h_1}, \sqrt{h_2})$  و برای هر  $\varphi \in [0, 2\pi]$

$$H(\rho(R, \varphi) \cos \varphi, \rho(R, \varphi) \sin \varphi) = R^2. \quad (۲۱)$$

در این صورت معادله دیفرانسیلی که ارتباط بین ریشه دوم انرژی  $R = \sqrt{h}$ ، و زاویه  $\varphi$  را برای دستگاه (۱۹) توصیف می‌کند به صورت زیر است:

$$\frac{dR}{d\varphi} = \varepsilon \frac{\mu(x^\gamma + y^\gamma)(Qp - Pq)}{\gamma R(xQ - yP)} \left( 1 - \varepsilon \frac{xq - yp}{xQ - yP} \right) + O(\varepsilon^2) \quad (۲۲)$$

که در آن  $y = \rho(R, \varphi) \sin \varphi$  و  $x = \rho(R, \varphi) \cos \varphi$

مثال ۱. ([۴]) دستگاه زیر را در نظر بگیرید:

$$\begin{cases} \dot{x} = -y + x^\gamma + \varepsilon p(x, y) \\ \dot{y} = x + xy + \varepsilon q(x, y) \end{cases} \quad (۲۳)$$

که در آن  $p(x, y) = a_1x - a_2x^\gamma + (2a_1 + a_5)xy + a_6y^\gamma$  و

$$q(x, y) = a_1y + a_2x^\gamma + a_4xy - a_2y^\gamma$$

توجه کنید که برای  $\varepsilon = 0$ ، دستگاه (۲۳) یک دستگاه انتگرال پذیر برگشت‌پذیر است که دارای انتگرال اول  $H(x, y) = \frac{x^\gamma + y^\gamma}{(1+y)^\gamma}$  و فاکتور انتگرال  $(1+y)^{-\gamma}$  است. که در آن منظور از انتگرال اول یک تابع غیر ثابت است که در طول جواب‌های دستگاه ثابت باشد و یک فاکتور انتگرال تابع ناصفری چون  $\nabla \cdot (R(x, y)(-y + x^\gamma, x + xy)) = 0$  است به طوری که  $R(x, y) = \rho \sin \varphi$  با استفاده از قضیه (۳) و با قراردادن  $\rho \sin \varphi < R < 1$  و  $\varphi \in [0, 2\pi]$  برای  $y = \rho \sin \varphi$  و  $x = \rho \cos \varphi$  داریم:

$$H(\rho \cos \varphi, \rho \sin \varphi) = R^\gamma \Rightarrow \frac{\rho}{1 + \rho \sin \varphi} = R \Rightarrow \rho = \rho(R, \varphi) = \frac{R}{1 - R \sin \varphi}.$$

بنابراین با استفاده از (۲۲)، از دستگاه (۲۳) و جایگذاری  $y = \rho \sin \varphi$  و  $x = \rho \cos \varphi$  نتیجه می‌شود

$$\frac{dR}{d\varphi} = \varepsilon \frac{a_1R + a(\varphi)R^\gamma + b(\varphi)R^\gamma}{1 - R \sin \varphi} + O(\varepsilon^2),$$

که در آن

$$a(\varphi) = (-2a_1 + 2a_2 + a_5) \sin \varphi + (a_4 + a_1) \cos \varphi - (4a_2 + a_5) \sin^\gamma \varphi$$

$$- (a_4 + a_1 + a_2) \cos^\gamma \varphi,$$

$$b(\varphi) = a_1 + a_2 - (a_1 + 2a_2) \cos^\gamma \varphi - a_4 \sin \varphi \cos \varphi.$$

حال با انتگرال‌گیری، تابع معدل به شکل زیر تبدیل می‌شود

$$\begin{aligned} \bar{f}(R) &= \frac{1}{2\pi} \int_0^{2\pi} \frac{a_1R + a(\varphi)R^\gamma + b(\varphi)R^\gamma}{1 - R \sin \varphi} d\varphi \\ &= \frac{1}{2(R\sqrt{1-R^\gamma})} [2a_2R^\gamma + (6a_2 + a_5 - 2a_1)R^\gamma \sqrt{1-R^\gamma} \\ &\quad - (10a_2 + 2a_5)R^\gamma - (2a_5 + 4a_2)\sqrt{1-R^\gamma} + 4a_2 + 2a_5]. \end{aligned}$$

توجه کنید که  $\int_{-\infty}^{\infty} f(\xi) d\xi = \sqrt{1 - R^2}$ . با جای‌گذاری  $\xi = \sqrt{1 - R^2} \cos \theta$  از  $\int_{-\infty}^{\infty} f(\xi) d\xi = \int_0^{\pi} \sqrt{1 - R^2} \cos^2 \theta d\theta$  نتیجه می‌شود:

$$\begin{aligned} \int_{-\infty}^{\infty} f(\xi) d\xi &= \frac{1}{2(\xi\sqrt{1-\xi^2})} \left( 2a_2\xi^4 - (6a_2 + a_5 - 2a_1)\xi^3 \right. \\ &\quad \left. + (6a_2 + 2a_5)\xi^2 + (a_5 - 4a_2 - 2a_1)\xi \right) = 0 \end{aligned}$$

بنابراین، طبق قاعده دکارت<sup>۱</sup> که بیان می‌کند حداقل تعداد ریشه‌های مثبت یک چندجمله‌ای، یکی کمتر از تعداد ضرایب ناصلف آن است و همچنین چون  $\int_{-\infty}^{\infty} f(\xi) d\xi = 0$  است، بنابراین حداقل تعداد ریشه‌های  $f(\xi)$  برای  $R \in (0, 1)$  برابر ۲ است. بنابراین دستگاه (۲۳) حداقل دارای ۲ سیکل حدی برای  $\xi$  به اندازه کافی کوچک است.

#### ۴. روش مبتنی بر اصل شناسه

در این بخش یک روش برای مطالعه تعداد صفرهای انتگرال آبلی معرفی می‌شود که از اصل شناسه استفاده می‌کند. پترف<sup>۲</sup> در یک سری از مقالات [۷]-[۱۱] از این روش برای مطالعه اختلال همیلتونی بیضوی مرتبه ۳ و مرتبه ۴ استفاده کرد، بنابراین در بعضی متون این روش، روش پترف نامیده می‌شود. در این روش با توسعی انتگرال آبلی  $I(h)$  به صورت یکتابع تحلیلی و تک مقدار در صفحه مختلط با استفاده از اصل شناسه یک کران بالا برای تعداد صفرهای تابع توسعه یافته می‌یابیم. واضح است که این کران یک کران بالا برای انتگرال آبلی تابع حقیقی مقدار  $I(h)$  است. از این روش برای مطالعه همیلتونی

$$H(x, y) = \frac{y^2}{2} - \frac{x^3}{3} + x,$$

با خانواده پیوسته بیضوی‌های

$$\{\gamma_h\} = \{(x, y) : H(x, y) = h, -\frac{2}{3} \leq h \leq \frac{2}{3}\}, \quad (24)$$

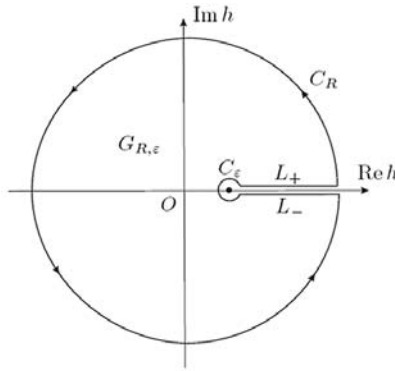
و انتگرال آبلی  $I(h) = \oint_{\gamma_h} f(x, y) dy - g(x, y) dx$ ، ولی برای اختلال با چندجمله‌ای از درجه دلخواه  $n$  استفاده می‌کنیم. نتیجه اصلی این بخش، قضیه زیر است:

قضیه ۴. هر  $I(h)$  غیربدیهی یعنی انتگرال آبلی چندجمله‌ای ۱ - فرم از درجه حداقل  $n$  روی بیضوی (۲۴)، حداقل دارای  $1 - n$  صفر برای  $(-\frac{2}{3}, \frac{2}{3})$  است.

ابتدا چند لم را بدون اثبات بیان و سپس قضیه (۴) را با استفاده از این لم‌ها ثابت می‌کنیم. فرض کنید  $\{h \in \mathbb{R}, h \geq \frac{2}{3}\} = D = \mathbb{C} \setminus \{h \in \mathbb{R}, h \geq \frac{2}{3}\}$ ، ناحیه همبند ساده  $G = G_{R, \varepsilon} \subset D$  با مرز ساده و بسته  $C_{R, \varepsilon} = \{C_R\} \cup \{C_\varepsilon\} \cup \{L_\pm\}$  به صورت  $\partial G = C_{R, \varepsilon}$  تعریف می‌شود که در آن

1) Descarte's rule    2) G.S. Petrov

$L_{\pm} = \{h \in \mathbb{C}, |h - \frac{\gamma}{r}| = \varepsilon \ll 1\}$ ,  $C_R = \{h \in \mathbb{C}, |h| = R \gg 1\}$   
پایینی برش  $\{h \geq \frac{\gamma}{r}\}$  هستند، شکل (۴) را بینید.



شکل ۴. ناحیه  $G_{R,\varepsilon}$  و مرزهای آن

لم ۲. ([۸])  $I(h)$  را می‌توان به ناحیه  $D$  به عنوان یک تابع تحلیلی تک - مقدار توسعه داد و مجدد از نماد  $I(h)$  برای نمایش تابع توسعه یافته استفاده می‌کنیم. به علاوه، برای  $h$  در همسایگی بینهایت  $I_{\wedge}(h) \sim h^{\frac{1}{2}}$  و  $I_{\circ}(h) \sim h^{\frac{1}{2}}$

لم ۳. ([۹])  $.h \in L_+ \cup L_-$  برای  $Im I_{\wedge}(h) \neq 0$ ,  $Im I_{\circ}(h) \neq 0$

لم ۴. ([۹])  $.h \in G \setminus \{-\frac{\gamma}{r}\}$  برای  $I_{\circ}(h) \neq 0$

لم ۵. ([۹])  $.h \in L_+ \cup L_-$  برای  $Im(\frac{I_{\wedge}(h)}{I_{\circ}(h)}) \neq 0$

اثبات قضیه ۴. با استفاده از لم ۱.۲.۹ در ([۴]) انتگرال آبلی  $I(h)$  را می‌توان به صورت زیر بیان کرد:

$$I(h) = Q_{\circ}(h)I_{\circ}(h) + Q_{\wedge}(h)I_{\wedge}(h),$$

که در آن  $Q_{\circ}(h) = \oint_{\gamma_h} x^j y dx$  و  $Q_{\wedge}(h) = \lim_{h \rightarrow -\frac{\gamma}{r}} \frac{I_{\wedge}(h)}{I_{\circ}(h)}$  است و طبق فرمول (۹)، از لم ۴ نتیجه می‌شود که  $h = -\frac{\gamma}{r}$  تنها صفر  $I_{\circ}(h)$  است. بنابراین به جای تعداد صفرهای  $I(h)$  در فرم بالا، تعداد صفرهای تابع زیر مورد بررسی قرار خواهد

گرفت،

$$F(h) = Q_{\circ}(h) + \frac{I_1(h)}{I_{\circ}(h)}Q_1(h).$$

توجه شود که صفر بدیهی  $I(h)$  در  $\frac{3}{4}h = h$  برای  $F(h)$  را می‌توان حذف کرد. حال برای بررسی تعداد صفرهای  $F(h)$  در  $G_{R,\varepsilon}$  برای  $R$  و  $\frac{1}{\varepsilon}$  مثبت و به اندازه کافی بزرگ، از اصل شناسه استفاده می‌کنیم. ثابت می‌شود که عدد دوران  $F$  هنگامی که  $h$  روی مرز  $G_{R,\varepsilon}$  می‌چرخد حداقل ۱ است.

اگر  $C$  یک مسیر بسته ساده باشد و تابع  $f$  در درون و روی  $C$  تحلیلی و ناصفر باشد، در این صورت تعداد صفرهای  $f$  در درون  $C$  برابر با تغییرات شناسه  $f$  در طول  $C$  ( تقسیم بر  $2\pi$ ) است. به این مقدار، عدد دوران یا پیچش  $f$  روی  $C$  گویند.

از لم (۲) نتیجه می‌شود که با تغییر  $h$  در طول  $C_R$  و درجهٔ مثلثاتی تابع  $F(h)$  حداقل  $\max(n_{\circ}, n_1 + \frac{1}{\varepsilon}) = \alpha$  دور در اطراف صفر می‌چرخد، چون عدد حقیقی مثبت  $M$  موجود است که هرگاه  $|F(h)| < M|h|^{\alpha}$ ،  $h \rightarrow \infty$ . از طرف دیگر هرگاه متغیر  $h$  در طول برش  $L_{\pm}$  حرکت کند، تعداد چرخش‌های  $F(h)$  در اطراف  $0$  توسط تعداد صفرهای  $Im(F(h))$  تخمین زده می‌شود. بنابر لم (۵) تعداد صفرهای  $Im(F(h))$  برای  $h \in L_+ \cup L_-$  حداقل  $2n_1$  است زیرا

$$Im(F(h)) = Im\left(\frac{I_1(h)}{I_{\circ}(h)}\right)Q_1(h).$$

و چون هر دور کامل از  $F(h)$  متناظر با حداقل ۲ صفر برای  $Im(F(h))$  است، لذا تعداد دورهای کامل  $F(h)$  روی این دو حاشیه حداقل  $1 + n_1$  می‌باشد (کمتر از یک نصف دور به هر کدام از لبه‌ها اضافه شده) و در نهایت، هنگامی که  $h$  در طول  $C_{\varepsilon}$  ساعتگرد حرکت می‌کند، تعداد دورهای کامل  $F$  وقتی  $0 \rightarrow \varepsilon$ ، به سمت صفر میل می‌کند، زیرا وقتی  $\frac{3}{4}h \rightarrow 0$ ، به سمت یک عدد ثابت  $I_1$  میل می‌کند (وقتی  $\frac{3}{4}h \rightarrow 0$  آن گاه بیضی  $\Gamma_h$  به سمت حلقه زینی  $\Gamma$  می‌رود و انتگرال‌های  $I_1$ ،  $I_{\circ}$  روی این حلقه اعداد حقیقی معینی هستند). با جمع‌بندی بحث فوق، نتیجه می‌شود که تعداد دورهای کامل  $F(h)$  حداقل برابر است با  $1 + 2n_1 + \frac{1}{\varepsilon} = n - \max(n_{\circ} + n_1 + 1, 2n_1 + 1)$ . توجه کنید که عدد دوران باید عددی صحیح باشد. ■

## مراجع

- [1] Arnold V.I., Loss of stability of self-oscillations close to resonance and versal deformations of equivariant vector fields, *Funct. Anal. Appl.* 11(1977) 85-92.
- [2] Arnold V.I., Ten problems, *Adv. Soviet Math.* 1(1990) 1-8.
- [3] Buica A., Llibre J., Averaging methods for finding periodic orbits via Brouwer degree, *Bull. Sci. Math.* 128(2004) 7-22.

- [4] Christopher C., Li C., Limit Cycles of Differential Equations, Advanced course in Mathematics, Birkhäuser Verlag, (2000).
- [5] Iliev I. D., On second order bifurcation of limit cycles, J. London Math. Soc. 58(1998)353-366.
- [6] Iliev I. D., Perturbations of quadratic centers, Bull. Sci. Math. 122(1998) 107-161.
- [7] Petrov G. S., Number of zeros of complete elliptic integrals, English transl., Funct. Anal. Appl. 18(1984)148-149.
- [8] Petrov G. S., Elliptic integrals and their nonoscillation, English transl., Funct. Anal. Appl. 20(1986) 37-40.
- [9] Petrov G. S., The Chebyshev property of elliptic integrals, English transl., Funct. Anal. Appl. 22(1988) 72-73.
- [10] Petrov G. S., Non-oscillations of elliptic integrals, English transl., Funct. Anal. Appl. 24(1990) 205-210.
- [11] Petrov G. S., On the non-oscillations of elliptic integrals, English transl., Funct. Anal. Appl. 31(1997) 262-265.
- [12] Sanders J. A., Verhulst F., Averaging Methods in Nonlinear Dynamical Systems, Appl. Math. Sci. 59, Springer, (1985).

[۱۳] دانیار الهی، حمیدرضا ظهوری زنگنه، ارتباط مسأله شانزدهم هیلبرت با انتگرال‌های آبلی و چند روش برای بررسی یکنوایی دو انتگرال آبلی، فرهنگ و اندیشه ریاضی، ۳۲(۱۳۸۳) ۴۴-۳۸.